氮气流量对氮化钛涂层微观结构与性能的影响

doi:10.3969/j.issn.1674-7100.2024.05.003

李健智 李文元 潘 旭 罗 侃 丁泽良

湖南工业大学 机械工程学院 湖南 株洲 412007 摘 要:采用直流反应溅射技术在 Ti6Al4V 钛合金表面制备了不同氮气流量的氮化钛涂层,通过场发射扫描电子显微镜、X 射线衍射仪、X 射线光电子能谱仪、划痕仪和电化学工作站对涂层进行测试,研究了氮气流量对涂层微观结构与性能的影响。结果表明:当氮气流量为 0.3 mL/min 时,涂层呈非晶结构;氮气流量为 0.5~3.5 mL/min 时,涂层中存在氮氧化钛晶相。随着氮气流量的增大,涂层中的 N 元素含量减少,O 元素含量增加,涂层的厚度减小,致密性、耐蚀性和界面结合增强。

关键词: Ti6Al4V; 直流反应溅射; 氮化钛涂层; 结合力; 耐蚀性

中图分类号: TG174.4 文献标志码: A

文章编号: 1674-7100(2024)05-0018-10

引文格式:李健智,李文元,潘 旭,等. 氮气流量对氮化钛涂层微观结构

与性能的影响 [J]. 包装学报, 2024, 16(5): 18-27.

1 研究背景

氮化钛(TiN)涂层具有优异的力学性能与耐磨性、高的热稳定性与化学稳定性以及较低的电阻率,广泛应用于车辆、宇航、机械、微电子和核能等行业 [1-3]。近年来,TiN 涂层因其良好的耐蚀性、耐磨性和生物相容性,在医用植人体表面改性领域备受关注 [4-5]。

目前,TiN 涂层的制备方法主要有磁控溅射、离子镀、化学气相沉积和热喷涂等技术 [6-8]。由磁控溅射技术制备的 TiN 涂层具有良好的均匀性、较高的膜基结合力以及成分可控等优点 [9]。根据磁控溅射镀膜机的工作原理,TiN 涂层可通过反应溅射 Ti 金属靶材或射频溅射 TiN 陶瓷靶材来制备。相比之下,反应溅射的 TiN 涂层成本较低、沉积速率较高。学者们对

氮气流量、氮气和氩气流量比对 TiN 涂层微观结构与性能的影响进行了大量研究。例如, Zhou T. 等 [9] 通过反应磁控溅射技术在 Ta 衬底上沉积了 TiN 涂层,发现随着氮气流量由 5 mL/min 增大到 15 mL/min,涂层的晶相由(111)择优取向生长向(200)择优取向生长转变,晶粒尺寸从 110 nm 减小到 61 nm。N. Arshi 等 [10] 发现随着氮气流量由 0 mL/min 增加到 9 mL/min,反应溅射 TiN 涂层的化学计量从 0.98 下降到 0.60,厚度由 293 nm 减小到 124 nm。Huang J. H. 等 [11] 采用反应溅射技术制备的 TiN 涂层的沉积率和残余应力均随氮气流量的增加而减小。另外,Gu P. 等 [12] 研究发现,当氮气和氩气流量比从 1:49增至 1:9时,由反应溅射技术制备的 TiN 涂层表面粗糙度由 6.23 nm 减小到 2.41 nm。L. van Duong 等 [13]

收稿日期: 2024-04-11

基金项目: 湖南省自然科学基金资助项目(2023JJ50163)

作者简介:李健智(1999-),男,广西梧州人,湖南工业大学硕士生,主要研究方向为表面涂层材料,

E-mail: 616374625@qq.com

通信作者:丁泽良(1966-),男,湖南攸县人,湖南工业大学教授,博士,主要从事表面涂层与特种加工研究,

E-mail: 10176@hut.edu.cn

采用直流反应溅射技术在 Ti6Al4V 钛合金表面制备了 TiN 涂层,发现随着氮气流量由 10 mL/min 增大到 30 mL/min 时,TiN 涂层的腐蚀电位升高 233 mV,腐蚀电流密度减小 $2.526 \, \mu\text{A/cm}^2$ 。

尽管国内外学者对 TiN 涂层的研究较多,但是关于氮气流量对反应溅射 TiN 涂层的结合力和耐蚀性的影响研究,还鲜有报道。为此,本研究采用直流反应溅射技术在 Ti6Al4V 钛合金表面制备不同氮气流量(0.3, 0.5, 1.5, 2.5, 3.5 mL/min)下的TiN 涂层,通过场发射扫描电子显微镜(scanning electron microscope,SEM)、X 射线衍射仪(X-ray diffraction,XRD)、X 射线光电子能谱仪(X-ray photoelectron spectrometer,XPS)、划痕仪和电化学工作站对涂层进行检测,探讨氮气流量对 TiN 涂层微观结构、结合力和耐蚀性的影响,以期为反应溅射TiN 涂层的氮气流量选择提供参考。

2 实验部分

2.1 实验材料

基底材料: Ti6Al4V 钛合金,尺寸820 mm×470 mm×0.8 mm,宝鸡钛业股份有限公司;硅片,尺寸10.0 mm×5.0 mm×0.5 mm,浙江立晶光电科技有限公司。

靶材: TiN 靶材和 Ti 金属靶材, 规格均为 Φ75 mm $\times 5$ mm, 纯度为 99.99%, 河北覃邦新材料科技公司。

抛光材料: 240#、800#、1200#和2000# SiC 砂纸, W5 金刚石研磨膏, W1.5 氧化铝抛光粉, 抛光绒布, 广州蔚仪金相试验有限公司。

清洗材料:去离子水,广州市弘威水处理设备有限公司;无水乙醇,纯度为95%,江苏吴江市仁和化工有限公司。

制备气体: 氩气和氮气, 纯度为 99.99%, 株洲九方气体有限公司。

2.2 实验设备与仪器

基底预处理设备:精密研磨抛光机(UNIPOL-810型)、手动晶相切割机(SYJH-180型),沈阳科晶设备制造有限公司;超声波清洗机,KQ-50DB型,昆山市超声仪器有限公司;真空干燥箱,ZKT-6050型,上海和呈仪器制造有限责任公司。

制备设备:高真空磁控溅射镀膜机,JPC-450型 北京泰科诺科技有限公司。

检测设备: 场发射扫描电子显微镜,

Regulus8100型,日本日立高新技术公司; X 射线衍射仪, U1tima IV型, 日本理学株式会社; X 射线光电子能谱仪, Thermo Kalpha型, 英国赛默飞世尔科技公司; 划痕仪, MFT-4000型, 中国科学院兰州化学物理研究所; 超景深显微镜, KH-7700型, 日本HIROX公司; 电化学工作站, SP-15/20A型, 法国Bio-Logic 科学仪器公司。

2.3 涂层制备

沉积涂层前,需对 Ti6Al4V 钛合金基底进行预处理,具体步骤如下: 1)使用 240#~2000# 砂纸依次对基底进行打磨; 2)采用金刚石研磨膏和氧化铝抛光液对基底进行抛光,直至达到镜面效果; 3)采用手动金相切割机将基底切割成 10 mm×10 mm 和20 mm×10 mm 两种尺寸; 4)将切割好的试样用无水乙醇超声清洗 5 min,随后置于干燥箱烘干备用。

将预处理后的 Ti6Al4V 和硅片置入镀膜机中,进行 15 min 的等离子清洗,以去除表面异物。清洗参数为:真空度 1×10⁻³ Pa、射频功率 200 W、氩气流量 20 mL/min。然后,采用直流反应溅射,通过氮气与 Ti 金属靶材的反应来制备 TiN 涂层,详细参数如表 1 所示。

表 1 直流反应溅射沉积 TiN 涂层的制备参数
Table 1 Preparation parameters of titanium nitride coating deposited by DC reactive sputtering

试样	溅射功率/W	沉积时间 / min	氮气流量 / (mL·min ⁻¹)	氩气流量 / (mL·min ⁻¹)	
F1	150	120	0.3	40	
F2	150	120	0.5	40	
F3	150	120	1.5	40	
F4	150	120	2.5	40	
F5	150	120	3.5	40	

2.4 表征与测定

- 1) 微观形貌表征:使用场发射扫描电子显微镜观察涂层的表面与断面形貌。
- 2) 晶相结构测定:通过 X 射线衍射仪分析涂层的晶相结构。
- 3) 化学成分测定:利用场发射扫描电子显微镜 配备的 X 射线能谱仪测量涂层表面元素含量;使用 X 射线光电子能谱仪分析涂层表面元素的化学价态。
- 4)结合力测定:采用划痕仪检测涂层的结合力, 用超景深显微镜观察划痕形貌。实验时,采用锥形金 刚石压头(直径 200 μm、顶锥角度 120°)在涂层 表面以恒定速度水平滑行,同时在涂层表面施加由 0

包装学报 PACKAGING JOURNAL 2024年第16卷第5期Vol.16 No. 5 Sep. 2024

N 增加到 20 N 的法向载荷,加载速率为 5 N/min,划 痕长度为 6 mm。测试期间,系统自动采集摩擦系数、摩擦力和声信号随加载力和划痕长度变化的曲线(划 痕曲线)。临界载荷(L_c)为涂层出现连续脱落所需的加载力,表示涂层的结合力。通过对划痕曲线和划 痕形貌的综合分析,确定 L_c 的大小。

5)耐蚀性测定:通过电化学工作站、三电极系统进行动电位极化曲线测试,检测涂层的耐蚀性。测试条件:温度为 37 ℃;工作电极、参比电极和辅助电极分别为试样、饱和 Ag/AgCl 和 Pt 片;电解液为磷酸盐缓冲液(phosphate buffer saline,PBS),其成分为 Na_2HPO_4 (1.44 g/L)、 K_2HPO_4 (0.24 g/L)、NaCl(8 g/L)、KCl(0.2 g/L),pH 为 7.4。利用 Tafel 外推法拟合极化曲线,得到试样的腐蚀电位

 (E_{corr}) 和腐蚀电流密度 (I_{corr}) 等腐蚀参数。涂层的腐蚀保护效率 (P_i) 由式 $(1)^{[14]}$ 计算得到。每个试样测试 3 次,结果取平均值。

$$P_{\rm i} = \left(1 - \frac{I_{\rm coated}}{I_{\rm uncoated}}\right) \times 100\% , \qquad (1)$$

式中 I_{coated} 和 I_{uncoated} 分别为涂层试样和基底的腐蚀电流密度。

3 结果与讨论

3.1 微观结构

3.1.1 断面形貌

图 1 为不同氮气流量下直流反应溅射 TiN 涂层试样的断面 SEM 照片。

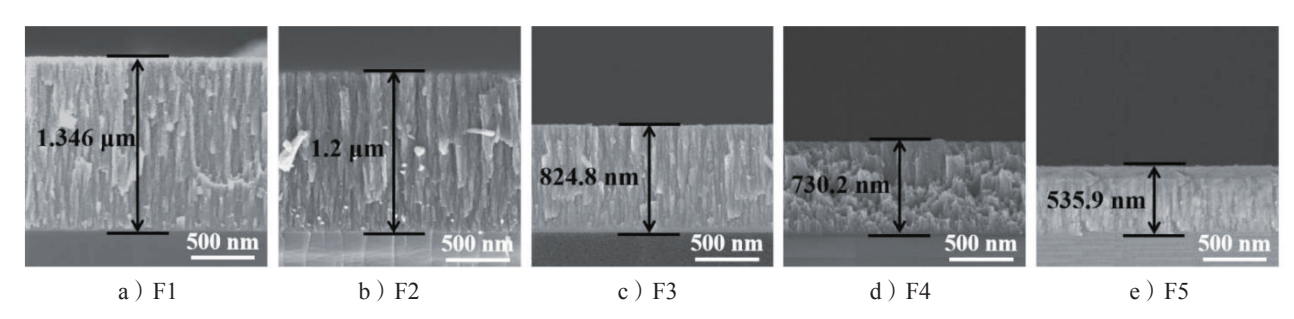


图 1 不同氮气流量下制备的 TiN 涂层断面 SEM 照片

Fig. 1 SEM photos of TiN coating sections prepared at different nitrogen flow rates

由图 1 可知,所有涂层断面均呈现出相似的柱 状生长模式。随着氮气流量由 0.3 mL/min 增大到 3.5 mL/min, TiN 涂层的厚度由 1.346 µm 减小至 535.9 nm, 这表明涂层的沉积速率随氮气流量的增大而下降。造成这种现象的原因有两个方面:一方面是过量氮气导致靶材中毒,即氮气在 Ti 靶表面发生反应, 生成厚度较薄的 TiN 层,而 TiN 陶瓷的溅射速率低于 Ti 金属,从而减小了靶材的溅射能力,涂层的沉积速率也随之降低;另一方面,在总溅射流量保持不变时,增加氮气流量会降低氩气分压,导致轰击靶材 的氩离子数目减少和靶材溅射速率的下降,从而降低涂层的沉积速率^[15]。类似现象在文献中有报道,如:Lu G. Y. 等^[16]发现,随着氮气流量由 1 mL/min 增加到 15 mL/min,直流反应溅射 TiN 涂层的沉积速率由10.4 nm/min 下降至 4.5 nm/min。R. Dhanaraj 等^[17]报道,当氩气与氮气的流量比由 1:1 变为 1:5 时,TiN涂层的厚度由 18 nm 减小为 14 nm。

3.1.2 表面形貌

图 2 为不同氮气流量下制备的 TiN 涂层表面 SEM 照片。

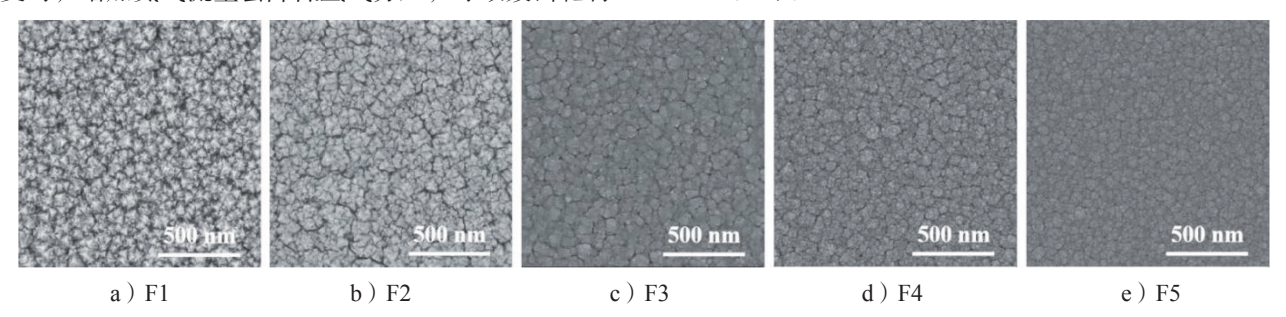


图 2 不同氮气流量下制备的 TiN 涂层表面 SEM 照片

Fig. 2 SEM photos of TiN coating surface prepared at different nitrogen flow rates

由图 2 可知,在氮气流量为 0.3 mL/min 下沉积的 TiN 涂层(F1 试样)表面颗粒呈金字塔状^[9,13];随着 氮气流量的增加,颗粒转变为菜花状,且致密性增强。这是由于氮气流量较小时,Ti 金属靶材的溅射率较高,使得沉积在基底表面的 TiN 颗粒来不及扩散,造成颗粒的团聚;增大氮气流量后,被溅射到基底表面的粒子流动性增强,减少了团聚现象的发生^[18]。

3.1.3 晶相结构

图 3 为涂层试样的 XRD 谱图。

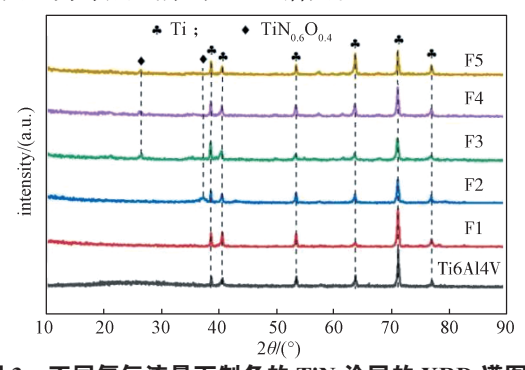


图 3 不同氮气流量下制备的 TiN 涂层的 XRD 谱图 Fig. 3 XRD patterns of TiN coating prepared at different nitrogen flow rates

由图3可知, 所有涂层试样均出现了与基底 Ti6Al4V中的 Ti 相对应的衍射峰。这是由于涂层厚 度薄和多孔结构,基底中的 Ti 元素容易扩散到涂层 表面。F1 涂层的 XRD 谱图中没有出现与 Ti 的化合 物有关的衍射峰,这说明氮气流量为 0.3 mL/min 时 沉积的 TiN 涂层呈非晶态,这是低温、低压下溅射涂 层的典型特征 [19]。F2、F3、F4 和 F5 涂层的 XRD 谱 图显示,在 20 的 26.079°和 37.169°两处出现了衍 射峰。通过对比PDF卡片(PDF#49-1325),发现 它们分别与TiNooOo4的特征峰相对应,这说明氮气 流量为 0.5~3.5 mL/min 时, 沉积的 TiN 涂层中出现了 $TiN_{06}O_{04}$ 结晶相,这可能是TiN涂层被氧化所致^[20]。 上述现象在文献中也有报道,如: G. Saeed 等 [21] 在 低温、低压和较低氮气流量下制备的 TiN 涂层为非 晶结构; R. Dhanaraj 等[17] 在氮气和氩气的流量比较 小时沉积的 TiN 涂层为非晶结构, 但随着氮气和氩 气流量比的增大,涂层出现了结晶; E. Ajenifuja 等[19] 发现在富氧条件下直流反应溅射制备的 TiN 涂层中 存在 TiN₀₈₀O₀₆₃ 相。

3.1.4 化学成分

1) 化学价态

图 4 为不同氮气流量下制备的 TiN 涂层表面元

素的 XPS 图谱,其分析结果汇总于表 2 中。所有涂层中均出现了 O 元素,这可能与溅射腔室内残余的氧气或者涂层从空气中吸附的 H_2O 和氧有关 $^{[20,22]}$ 。

由 5 种试样的 Ti 2p 高分辨图谱可知, F1、F2、 F3 和 F4 试样可以分为 3 组双峰, F5 试样可以分为 两组双峰。由表 2 可知, K1 和 k1 峰归属于 Ti 的特 征峰 [20]; L1~L4、11~l4 峰归属于 TiN 的特征峰 [23-25]; M1~M5、m1~m5 峰归属于 TiN,O, 的特征峰 [24, 26]; N2~N5、n2~n5 峰归属于 TiO₂ 的特征峰 [27, 28]。因此, F1 试样表面的 Ti 元素以 Ti、TiN 和 TiN,O, 的 3 种 形式存在, F2~F4 试样表面的 Ti 元素以 TiN、TiN,O, 和 TiO₅ 的 3 种形式存在, 而 F5 试样表面的 Ti 元素 则以 TiN,O,和 TiO,两种形式存在。随着氮气流量的 增加,涂层表面 TiN 的含量逐渐减少,且当氮气流 量达到 3.5 mL/min 后,涂层表面不再含有 TiN。这 是由于TiO,的稳定性高于TiN,在氧气存在的条件下, 溅射沉积的 TiN 容易被氧化成 TiN,O, 和 TiO, [29-32]。 另外, 氮气流量低时, TiN 涂层的沉积率高, TiN 含 量多, 氧气氧化的 TiN 占比较小; 氮气流量增加时, 涂层的沉积率下降, TiN 减少, 氧气氧化的 TiN 占比 增大[33]。

由 5 种试样的 N 1s 高分辨图谱可知, F1、F2 和 F5 包含两个分峰, F3 和 F4 包含 3 个分峰。由表 2 可知, P1~P4 峰对应于 TiN 的特征峰 [27, 34]; Q1~Q5 峰对应于 TiN_xO_y 的特征峰 [20, 28]; R3~R5 峰属于吸附在涂层表面未参与反应的氮气的特征峰 [33, 35]。综上分析,涂层表面 N 的存在形式为 TiN、TiN_xO_y 和吸附氮;随着氮气流量的增加,涂层表面 TiN 的含量逐渐减少,当氮气流量达到 3.5 mL/min 后,涂层表面不再含有 TiN; 未参与反应的氮气会吸附在涂层表面,形成吸附氮。涂层表面的吸附氮是由于氮气流量的增大,导致腔室中氩气分压降低,Ti 靶的溅射速率降低,与 Ti 反应后多余氮气化学吸附在 TiN 涂层表面 [34]。可见,涂层表面 Ti 的氮化物随氮气流量的变化趋势与 Ti 2p 图谱的结果是一致的。

由 5 种试样的的 O 1s 高分辨图谱可知,S1~S5 峰归属于 TiN_xO_y 的 O $1s^{[36]}$,这可能是沉积的 TiN 涂层被腔室中残余的氧(主要是 H_2O)氧化后形成了 TiN_xO_y ; $U2\sim U5$ 峰对应于 TiO_2 的 O 1s,这是由于 TiN 涂层和 TiN_xO_y 在大气中被氧化成了 $TiO_2^{[33]}$;而 $T1\sim T5$ 峰则属于羟基(一OH)中的 O 1s,这可能是 涂层吸附了空气中的 H_2O 所致 [33,36]。

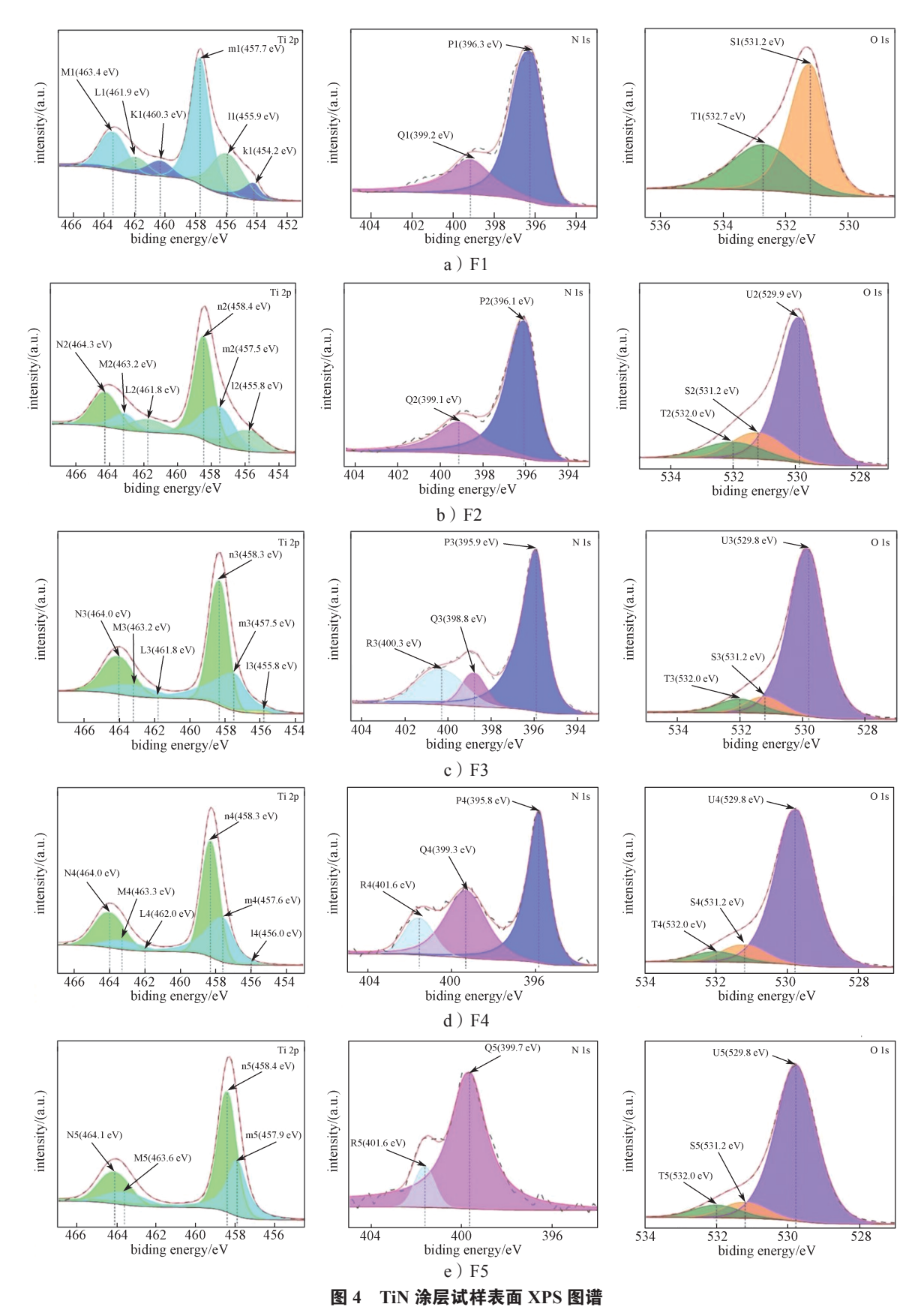


Fig. 4 XPS patterns of titanium nitride coated specimens

表 2 不同氮气流量下制备的 TiN 涂层元素的 XPS 分析结果

Table 2 XPS analysis results of titanium nitride coating surface prepared at different nitrogen flow rates

试样	核心元素	分	峰序号	结合能 /eV	化合物	试样	核心元素	分峰序号	结合能 /eV	化合物
FI	Ti 2p	1	Ti 1/2p	463.4(M1峰)	$TiN_xO_y^{[23]}$		N 1s O 1s	1	400.3(R3峰)	N ₂ ^[35]
		1	Ti 3/2p	457.7 (m1峰)		F3		2	398.8 (Q3 峰)	$\text{TiN}_x \text{O}_y^{[28]}$
		2	Ti 1/2p	461.9 (L1峰)	TiN ^[24]			3	395.9 (P3峰)	TiN ^[27]
		2	Ti 3/2p	455.9(11峰)				1	532.0 (T3峰)	$H_2O^{[33]}$
		3	Ti 1/2p	460.3 (K1峰)	Ti ^[20]			2	531.2 (S3峰)	$\text{TiN}_{x}\text{O}_{y}^{[36]}$
		3	Ti 3/2p	454.2(k1峰)	11-			3	529.8 (U3峰)	$TiO_2^{[33]}$
	N 1s	1		399.2 (Q1峰)	$\text{TiN}_x \text{O}_y^{[20]}$		Ti 2p N 1s	Ti 1/2p	464.0(N4峰)	TiO ₂ ^[27]
		2		396.3 (P1峰)	$TiN^{[34]}$			Ti 3/2p	458.3 (n4峰)	
	O 1s	1		532.7 (T1峰)	$H_2O^{[36]}$			Ti 1/2p	463.3(M4峰)	$\mathrm{TiN}_{x}\mathrm{O}_{y}^{[26]}$
		2		531.2 (S1峰)	$\text{TiN}_{x}\text{O}_{y}^{[36]}$			Ti 3/2p	457.6(m4峰)	
F2	Ti 2p	1	Ti 1/2p	464.3(N2峰)	$TiO_{2}^{[27]}$	F4		Ti 1/2p	462.0 (L4 峰)	TiN ^[23]
			Ti 3/2p	458.4(n2峰)	1102			Ti 3/2p	456.0(14峰)	111N
		2	Ti 1/2p	463.2(M2峰)	$TiN_xO_y^{[26]}$ $TiN^{[24]}$			1	401.6(R4 峰)	$N_2^{[35]}$
			Ti 3/2p	457.5 (m2峰)				2	399.3(Q4峰)	$\text{TiN}_{x}\text{O}_{y}^{[20]}$
		3	Ti 1/2p	461.8 (L2 峰)			3	395.8 (P4 峰)	$TiN^{[27]}$	
		3	Ti 3/2p	455.8(12峰)	TIIN			1	532.0 (T4峰)	$H_2O^{[33]}$
	N 1s	1		399.1 (Q2 峰)	$\text{TiN}_{x}\text{O}_{y}^{[20]}$		O 1s	2	531.2 (S4峰)	$\text{TiN}_{x}\text{O}_{y}^{[36]}$
		2		396.1 (P2峰)	$TiN^{[34]}$			3	529.8(U4 峰)	$TiO_2^{[33]}$
		1		532.0 (T2峰)	$H_2O^{[33]}$		Ti 2p	Ti 1/2p	464.1(N5峰)	TiO ₂ ^[27]
	O 1s	2		531.2 (S2峰)	$\text{TiN}_x \text{O}_y^{[36]}$			Ti 3/2p	458.4 (n5峰)	
		3		529.9 (U2峰)	TiO ₂ ^[33]		11 2p	Ti 1/2p	463.6 (M5峰)	$\text{TiN}_{x}\text{O}_{v}^{[23]}$
F3	Ti 2p	1	Ti 1/2p	464.0 (N3峰)	TiO ₂ ^[28]			Ti 3/2p	457.9 (m5峰)	$111N_xO_y$
			Ti 3/2p	458.3 (n3峰)		F5	N 1s	1	401.6(R5 峰)	$N_2^{[35]}$
		2	Ti 1/2p	463.2(M3峰)	$TiN_xO_y^{[26]}$			2	399.7(Q5 峰)	$\text{TiN}_{x}\text{O}_{y}^{[20]}$
			Ti 3/2p	457.5 (m3峰)			O 1s	1	532.0(T5峰)	$H_2O^{[33]}$
		3	Ti 1/2p	461.8 (L3峰)	TiN ^[24]			2	531.2 (S5峰)	$\text{TiN}_{x}\text{O}_{y}^{[36]}$
			Ti 3/2p	455.8(13峰)				3	529.8 (U5峰)	$TiO_2^{[33]}$

2) 元素成分

表 3 为通过 X 射线能谱仪检测得到的不同氮气流量下制备的 TiN 涂层的元素含量。

表 3 不同氮气流量下制备的 TiN 涂层中元素的含量
Table 3 Elemental contents of titanium nitride coating prepared at different nitrogen flow rates %

试样	Ti	N	О	
F1	38.24	38.23	23.53	
F2	36.23	27.50	36.27	
F3	26.95	15.11	57.94	
F4	26.02	17.95	56.03	
F5	23.30	13.69	63.01	

由表 3 可知,所有涂层都含有 Ti、N 和 O 元素; 当氮气流量由 0.3 mL/min 增大到 3.5 mL/min 时,TiN 涂层中 N 元素的含量由 38.23% 减少至 13.69%,而 O 元素的含量则由 23.53% 增大至 63.01%。这说明随 着氮气流量的增大,涂层中的 TiN 含量减少,TiN 被 氧化的程度增加,该现象与 N. White 等 [33] 的研究结果一致。

3.2 涂层性能研究

3.2.1 涂层的结合性能

图 5 为不同氮气流量下制备的 TiN 涂层试样的 划痕试验结果。图 5a 显示,氮气流量为 0.3 mL/min 下制备的 F1 试样在划痕距离(S_d)为 0.56 mm、加载力为 1.87 N 时,涂层出现连续脱落并暴露基底的现象,此时涂层结合力为 1.87 N。当氮气流量增至 0.5 mL/min 时制备的 F2 试样在划痕距离为 2.74 mm 时,涂层出现连续脱落,此时涂层的结合力为 9.12 N,较

F1 试样提高 3.9 倍。之后,随着氮气流量的增加,涂层失效时的距离和结合力均持续增大。氮气流量为 3.5 mL/min下制备的 F5 试样的涂层结合力为 16.36 N,较 F1 试样增大 774.9%。划痕试验结果说明,TiN 涂层的结合力随氮气流量的增加而增大。这是由于增加

氮气流量会减少涂层内部的孔隙、针孔等缺陷,增强涂层的致密度,进而提高涂层的结合强度^[37];另外,氮气流量增加后,涂层厚度减小,使得涂层/基底结合界面的残余应力降低,从而增强涂层与基底的界面结合^[38]。

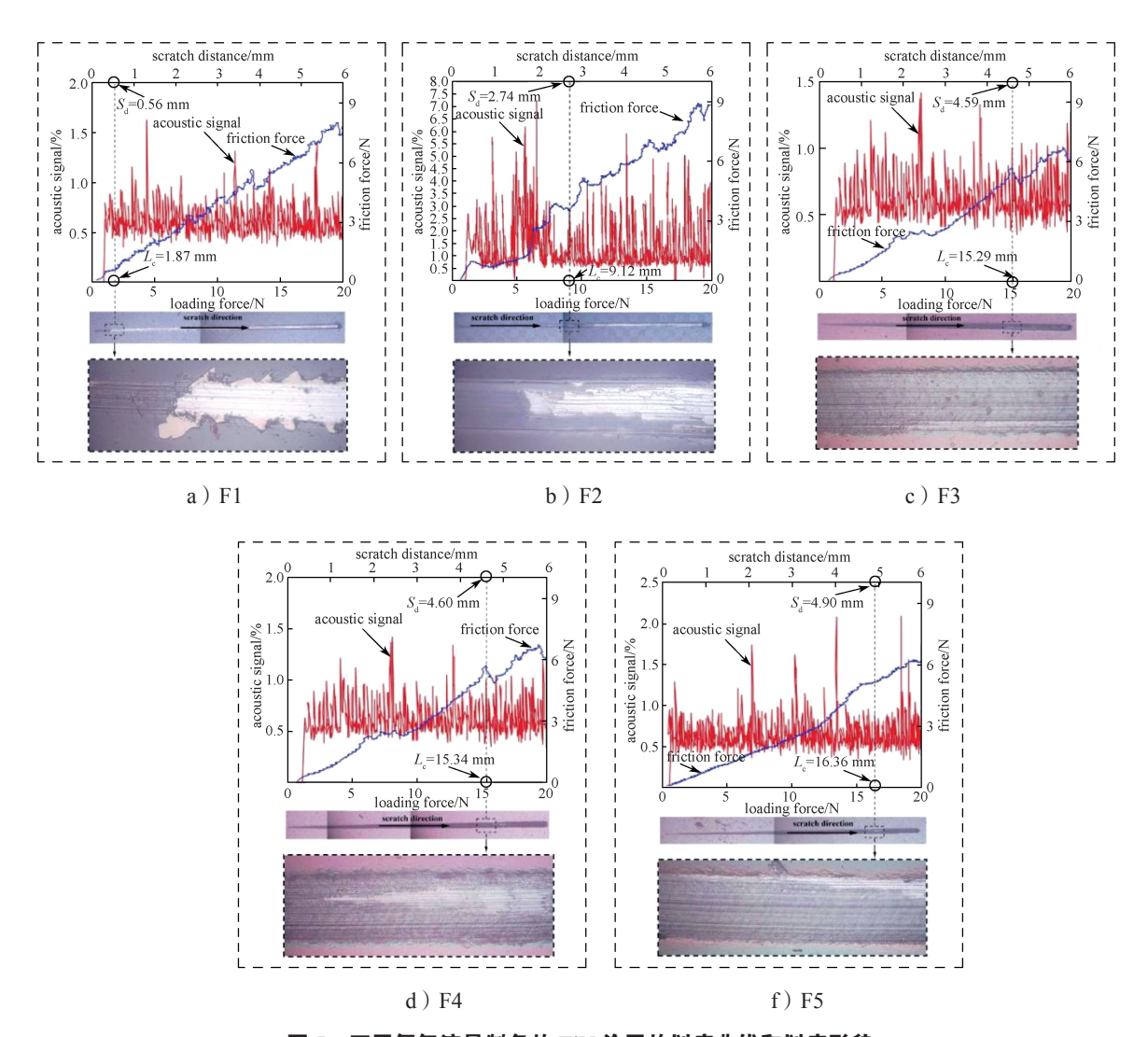


图 5 不同氮气流量制备的 TiN 涂层的划痕曲线和划痕形貌

Fig. 5 Scratch curves and scratch morphology of titanium nitride coatings prepared with different nitrogen flow rates

3.2.2 涂层的耐腐蚀性能

图 6 显示了不同氮气流量下制备的 TiN 涂层试样的动电位极化曲线,表 4 为采用 Tafel 外推法对该曲线进行拟合得到的极化参数。由表 4 可知,Ti6Al4V的 $E_{\rm corr}$ 为 -480.1 mV, $I_{\rm corr}$ 为 1.791×10^{-3} mA/cm²。相比之下,所有 TiN 涂层试样的 $E_{\rm corr}$ 升高、 $I_{\rm corr}$ 减小。另外,随着氮气流量由 0.3 mL/min (F1 试样) 升至 3.5 mL/min (F5 试样) ,涂层试样的 $E_{\rm corr}$ 变化较小(幅

度在 2.4~182.2 mV 之间),但 I_{corr} 明显减小,其中 F5(1×10^{-6} mA/cm²)较 F1(1.652×10^{-3} mA/cm²)减小 3 个数量级。

通常, E_{corr} 越高, I_{corr} 越小,材料的耐腐蚀性越好 $[^{39-41}]$ 。极化曲线试验数据说明,TiN 涂层能明显提高 Ti6Al4V 钛合金的耐蚀性。另外,涂层试样的耐腐蚀性能由高到低的顺序依次为 F5、F4、F3、F2、F1,即 TiN 涂层试样的耐蚀性随氮气流量的增加而

提高,这一结果与涂层的致密性、成分以及结合强度有关。由前面的分析可知,增大氮气流量会提高 TiN 涂层的致密性,使得涂层中孔隙、针孔等缺陷减少,以及涂层对腐蚀介质的屏蔽作用增强;同时,增大氮气流量会增强涂层 / 基底的界面结合,从而提高涂层的耐腐蚀性能 [13]。另外,随着氮气流量的增加,涂层中的 TiN 含量减少,TiO₂ 的含量增加,而 TiO₂ 的耐蚀性要高于 TiN 涂层 [42]。因此,增大氮气流量能提高 TiN 涂层的耐蚀性。

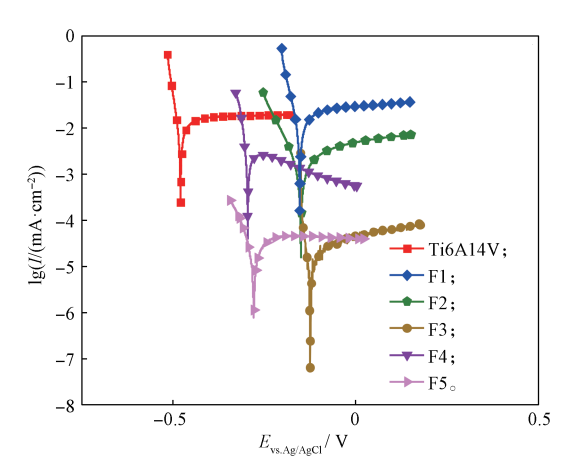


图 6 基底及不同氮气流量下制备的 TiN 涂层的 动电位极化曲线

Fig. 6 Potentiodynamic polarization curves of substrate and titanium nitride coating specimens prepared at different nitrogen flow rates

表 4 Ti6Al4V 和涂层试样的极化参数
Table 4 Polarization parameters of uncoated and coated
Ti6Al4V specimens

试样代号	$E_{\rm corr}/{ m mV}$	$I_{\rm corr}/\left({\rm mA\cdot cm}^{-2}\right)$	$P_{\rm i}$ /%
Ti6Al4V	-480.1	1.791×10^{-3}	
F1	-152.3	1.652×10^{-3}	7.76
F2	-149.9	0.165×10^{-3}	90.79
F3	-125.8	5×10^{-6}	99.72
F4	-308.0	2×10^{-6}	99.89
F5	-278.0	1×10^{-6}	99.94

4 结论

本研究采用直流反应溅射技术在 Ti6Al4V 钛合金表面制备了 TiN 涂层,探讨了氮气流量对 TiN 涂层微观特征、结合力和耐蚀性的影响规律。所得结论如下:

1) 当氮气流量由 0.3 mL/min 增大至 3.5 mL/min

- 时,涂层中的 N 元素含量逐渐减少、O 元素含量逐渐增加。其中,氮气流量为 0.3 mL/min 时,涂层呈非晶结构;氮气流量为 0.5~3.5 mL/min 时,涂层中出现氮氧化钛晶相。
- 2)随着氮气流量的增大,涂层的沉积率下降、致密性增强。
- 3)增大氮气流量,能提高涂层的结合性能。当氮气流量由 0.3 mL/min增大至 3.5 mL/min,涂层的结合力由 1.87 N逐渐增大至 16.36 N。
- 4) 随着氮气流量的增加,涂层试样的耐蚀性增强。当氮气流量为 3.5 mL/min 时,涂层试样的 I_{corr} 为 1×10^{-6} mA/cm²,较氮气流量为 0.3 mL/min 时的涂层试样小 3 个数量级。

参考文献:

- [1] IORDANOVA I, KELLY P J, BUROVA M, et al. Influence of Thickness on the Crystallography and Surface Topography of TiN Nano-Films Deposited by Reactive DC and Pulsed Magnetron Sputtering[J]. Thin Solid Films, 2012, 520(16): 5333–5339.
- [2] LOUSA A, ESTEVE J, MEJIA J, et al. Influence of Deposition Pressure on the Structural Mechanical and Decorative Properties of TiN Thin Films Deposited by Cathodic Arc Evaporation[J]. Vacuum, 2007, 81(11/12): 1507–1510.
- [3] XI Y T, BAI Y Y, GAO K W, et al. Residual Stress and Microstructure Effects on Mechanical, Tribological and Electrical Properties of TiN Coatings on 304 Stainless Steel[J]. Ceramics International, 2018, 44(13): 15851–15858.
- [4] JEYACHANDRAN Y, NARAYANDASS S, MANGALARAJ D, et al. Properties of Titanium Nitride Films Prepared by Direct Current Magnetron Sputtering[J]. Materials Science & Engineering A, 2006, 445; 223-236.
- [5] FRANKS W, SCHENKER I, SCHMUTZ P, et al. Impedance Characterization and Modeling of Electrodes for Biomedical Applications[J]. IEEE Transactions on Bio-Medical Engineering, 2005, 52(7): 1295-1302.
- [6] OTHMAN M, BUSHROA A, ABDULLAH W N R. Evaluation Techniques and Improvements of Adhesion Strength for TiN Coating in Tool Applications:

- A Review[J]. Journal of Adhesion Science and Technology, 2015, 29(7): 569-591.
- [7] SANTECCHIAE, HAMOUDAA, MUSHARAVATIF, et al. Wear Resistance Investigation of Titanium Nitride-Based Coatings[J]. Ceramics International, 2015, 41(9): 10349–10379.
- [8] ZUO J, XIE Y N, ZHANG J, et al. TiN Coated Stainless Steel Bracket: Tribological, Corrosion Resistance, Biocompatibility and Mechanical Performance[J]. Surface & Coatings Technology, 2015, 277: 227-233.
- [9] ZHOU T, LIU D W, ZHANG Y, et al. Microstructure and Hydrogen Impermeability of Titanium Nitride Thin Films Deposited by Direct Current Reactive Magnetron Sputtering[J]. Journal of Alloys and Compounds, 2016, 688: 44–50.
- [10] ARSHI N, LU J Q, JOO Y K, et al. Influence of Nitrogen Gas Flow Rate on the Structural, Morphological and Electrical Properties of Sputtered TiN Films[J]. Journal of Materials Science: Materials in Electronics, 2013, 24(4): 1194–1202.
- [11] HUANG J H, LAU K, YU G. Effect of Nitrogen Flow Rate on Structure and Properties of Nanocrystalline TiN Thin Films Produced by Unbalanced Magnetron Sputtering[J]. Surface & Coatings Technology, 2005, 191: 17-24.
- [12] GU P, ZHU X H, LI J T, et al. Influence of Substrate and Ar/N₂ Gas Flow Ratio on Structural, Optical and Electrical Properties of TiN Thin Films Synthetized by DC Magnetron Sputtering[J]. Journal of Materials Science: Materials in Electronics, 2018, 29(12): 9893–9900.
- [13] VAN DUONG L, PHUONG D D, LINH N N, et al. Impact of Reactive Nitrogen Flow on Morphology, Mechanical Properties, and Biocorrosion Behavior of Sputtered TiN Coatings Towards Orthopedic Applications[J]. Surface Topography: Metrology and Properties, 2023, 11(3): 035002.
- [14] RAHMOUNI K, BESNARD A, OULMI K, et al. In Vitro Corrosion Response of Cocrmo and Ti-6Al-4V Orthopedic Implants with Zr Columnar Thin Films[J]. Surface and Coatings Technology, 2022, 436: 128310.
- [15] 雒向东 . 不同 N_2 气流量下反应溅射 TiN 薄膜的表面形 貌 [J]. 半导体光电,2008,29(6): 924–927. LUO Xiangdong. Fractal Surface of TiN Thin Films

- Sputtered at Different N₂ Flow Ratios[J]. Semiconductor Optoelectronics, 2008, 29(6); 924–927.
- [16] LU GY, YU LH, JU H, et al. Influence of Nitrogen Content on the Thermal Diffusivity of TiN Films Prepared by Magnetron Sputtering[J]. Surface Engineering, 2019, 36: 192–198.
- [17] DHANARAJ R, MOHAMED S B, KAMRUDDIN M, et al. Structural Properties of TiN Thin Films Prepared by RF Reactive Magnetron Sputtering[J]. Materials Today: Proceedings, 2021, 36: 146–149.
- [18] ASGARY S, VAGHRI E, DAEMI M, et al. Magnetron Sputtering Technique for Analyzing the Influence of RF Sputtering Power on Microstructural Surface Morphology of Aluminum Thin Films Deposited on SiO₂/Si Substrates[J]. Applied Physics A, 2021, 127(10): 752.
- [19] AJENIFUJA E, FASASI AY, OSINKOLU G
 A. Sputtering-Pressure Dependent Optical and
 Microstructural Properties Variations in DC Reactive
 Magnetron Sputtered Titanium Nitride Thin Films[J].
 Transactions of the Indian Ceramic Society, 2012,
 71(4): 181-188.
- [20] QI R, PAN L Y, FENG Y F, et al. Evolution of Chemical, Structural, and Mechanical Properties of Titanium Nitride Thin Films Deposited Under Different Nitrogen Partial Pressure[J]. Results in Physics, 2020, 19: 103416.
- [21] SAEED G, ALI REZA F, AHMAD ALI A, et al. Structural and Morphological Properties of TiN Deposited by Magnetron Sputtering[J]. Surface Topography: Metrology and Properties, 2018, 6(4): 45003.
- [22] EASWARAKHANTHAN T, ASSOUAR M B, PIGEAT P, et al. Optical Models for Radio-Frequency-Magnetron Reactively Sputtered AlN Films[J]. Journal of Applied Physics, 2005, 98(7): 73531.
- [23] 赵青南,赵修建. XPS 研究大气环境下热处理温度对玻璃基 TiN 薄膜组成与结构的影响 [J]. 武汉工业大学学报,2001(1): 12-15.
 ZHAO Qingnan, ZHAO Xiujian. XPS Study of Effect of
 - Heat Treatment Temperature in Laboratory Atmosphere on Composition and Structure of TiN Films Coated on Float Glass[J]. Journal of Wuhan University of Technology, 2001(1): 12–15.
- [24] BARHAI P, KUMARI N, BANERJEE I, et al. Study of the Effect of Plasma Current Density on the Formation

- of Titanium Nitride and Titanium Oxynitride Thin Films Prepared by Reactive DC Magnetron Sputtering[J]. Vacuum, 2009, 84(7): 896–901.
- [25] ZHENG J Y, HAO J Y, LIU X Q, et al. Properties of TiN/TiCN Multilayer Films by Direct Current Magnetron Sputtering[J]. Journal of Physics D Applied Physics, 2012, 45(9): 095303.
- [26] YANG T S, YANG M, SHIU C B, et al. Effect of N₂ Ion Flux on the Photocatalysis of Nitrogen-Doped Titanium Oxide Films by Electron-Beam Evaporation[J]. Applied Surface Science, 2006, 252: 3729–3736.
- [27] 李春领. 反应磁控溅射法制备玻璃基 TiO₂/TiN/TiO₂ 多层薄膜的研究 [D]. 武汉: 武汉理工大学, 2004. LI Chunling. The Study on the Properties of TiO₂/TiN/TiO₂ Multi-Films Prepared on Glass Substrate by Reactive Magnetron Sputtering[D]. Wuhan: Wuhan University of Technology, 2004.
- [28] JIANG N, ZHANG H J, BAO S N, et al. XPS Study for Reactively Sputtered Titanium Nitride Thin Films Deposited under Different Substrate Bias[J]. Physica B Condensed Matter, 2004, 352(1/2/3/4): 118–126.
- [29] LOGOTHETIDIS S, BARBORICA A. In-Situ and Real Time Room Temperature Oxidation Studies of Fcc TiN Thin Films[J]. Microelectronic Engineering, 1997, 33(1): 309–316.
- [30] LOGOTHETIDIS S, STERGIOUDIS G, PATSALAS P. Oxidation and Structural Changes in Fcc TiN_x Thin Films Studied with X-Ray Reflectivity[J]. Surface & Coatings Technology, 1998, 100: 295–299.
- [31] MIAN M S, OKIMURA K, KOHZAKI M. Comparative Study of TiN and TiN/Ti as Bottom Electrodes for Layered Type Devices with Phase Transition VO₂ Films[J]. Thin Solid Films, 2017, 636: 63-69.
- [32] YOKOTA K, NAKAMURA K, KASUYA T, et al. Titanium Oxy-Nitride Films Deposited on Stainless Steel by an Ion Beam Assisted Deposition Technique[J]. Journal of Materials Science, 2003, 38(9): 2011–2018.
- [33] WHITE N, CAMPBELL A, GRANT J, et al. Surface/ Interface Analysis and Optical Properties of RF Sputter-Deposited Nanocrystalline Titanium Nitride Thin Films[J]. Applied Surface Science, 2014, 292: 74–85.
- [34] 赵青南. 溅射法玻璃基 TiO₂ 膜、TiO₂/TiN/TiO₂ 复合膜制备及其结构和性能表征 [D]. 武汉: 武汉理工大学, 2004.
 - ZHAO Qingnan. Preparation and Characterization of TiO₂ Films, TiO₂/TiN/TiO₂ Multi-Films Coated on Glass

- Substrates by Reactive Sputtering[D]. Wuhan: Wuhan University of Technology, 2004.
- [35] ZHAO Q N, LI C L, HE X, et al. XPS Study of N-Doped TiO_x Thin Films Prepared by DC Reactive Magnetron Sputtering [J]. Key Engineering Materials, 2003, 249: 457–462.
- [36] BURANYCH V V, POGREBNJAK A D, POGORIELOV M, et al. Characterization, Mechanical and Biomedical Properties of Titanium Oxynitride Coating[J]. Ceramics International, 2023, 49(17): 28167–28174.
- [37] DRYGAŚ M, CZOSNEK C, PAINE R, et al. Two-Stage Aerosol Synthesis of Titanium Nitride TiN and Titanium Oxynitride TiO_xN_y Nanopowders of Spherical Particle Morphology[J]. Chemistry of Materials, 2006, 18(13): 3122–3129.
- [38] VEGA-MORÓN R, CASTRO G R, MELO-MÁXIMO D, et al. Adhesion and Mechanical Properties of Ti Films Deposited by DC Magnetron Sputtering[J]. Surface & Coatings Technology, 2018, 349: 1137–1147.
- [39] GHAILANE A, OLUWATOSIN A O, LARHLIMI H, et al. Titanium Nitride, Ti_xN_(1-x), Coatings Deposited by HiPIMS for Corrosion Resistance and Wear Protection Properties[J]. Applied Surface Science, 2022, 574: 151635.
- [40] 周 泉,丁泽良,王 易,等. Ti6Al4V 钛合金表面 Ta₂O₅/Ta₂O₅-Ti/Ti 多涂层的制备与性能研究 [J]. 包装学报,2019,11(6): 23-30.
 ZHOU Quan,DING Zeliang,WANG Yi,et al. Preparation and Properties of Ta₂O₅/Ta₂O₅-Ti/Ti Multilayer Composite Coatings on Ti6Al4V[J]. Packaging Journal, 2019,11(6): 23-30.
- [41] 袁乾鸿, 丁子彧, 王 皓, 等. AZ31 和 Ti6Al4V 表面 Nb₂O₅ 涂层的微观结构与性能研究 [J]. 包装学报, 2022, 14(4): 20-27.

 YUAN Qianhong, DING Ziyu, WANG Hao, et al. Microstructure and Performance of Nb₂O₅ Coatings on AZ31 and Ti6Al4V[J]. Packaging Journal, 2022, 14(4): 20-27.
- [42] QI J, YANG Y M, ZHOU M M, et al. Effect of Transition Layer on the Performance of Hydroxyapatite/ Titanium Nitride Coating Developed on Ti-6Al-4V Alloy by Magnetron Sputtering[J]. Ceramics International, 2019, 45(4): 4863–4869.

(责任编辑: 邓 彬) (下转第51页)